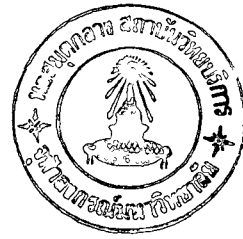


บทที่ 3

ผลการทดลอง



### 1. การสร้างยีสต์ลูกผสมโดยวิธีการรวมตัวของเซลล์โปรโตพลาสต์

จากผลการทดลองเมื่อหาอายุของเชื้อยีสต์ที่เหมาะสมในการทำลาบผนังเซลล์ด้วยสารละลายเอ็นไซม์ไซโมไลเอส -5000 พบว่าควรใช้เชื้อเมื่อเข้าสู่ปลายระยะการเจริญแบบทวีคูณ (exponential phase) เมื่อยีสต์มีอายุ 15 ชม. ของสายพันธุ์  $\propto$  STX 166 - 17 C และ 13 ชม. ของสายพันธุ์  $\propto$  STX 174 - 4 D ได้ผลดังกราฟรูปที่ 1 ซึ่งแสดงอัตราการเจริญเติบโตในช่วงต่าง ๆ

จากผลการทดลองพบว่าต้องใช้สารละลายเอ็นไซม์ไซโมไลเอส -5000 ความเข้มข้น 6 มก./มล. การละลายผนังเซลล์ของทั้งสองสายพันธุ์ใช้เวลาประมาณ 4 ชม. จึงเกิดสภาพโปรโตพลาสต์ร้อยละ 80 โดยศึกษาจากไตกล้องจุลทรรศน์ ดังรูปภาพที่ 1 และ 2 ซึ่งแสดงภาพโปรโตพลาสต์

การคัดเลือกยีสต์ลูกผสมที่เกิดโดยวิธีการรวมตัวของเซลล์โปรโตพลาสต์ ใช้หลักคอมพลีเมนต์ (Complementary) โดยมีกรดอะมิโนฮิสติดีน, เมทไธโอนีน และไนโตรจีเนียล-เบลล์ชนิดยูเรซิลและอะดีนีนเป็นเครื่องหมาย และคัดเลือกบนอาหารต่ำลุ่มบวรัลที่เติมเฉพาะไลซีนตามลักษณะจีโนไทป์ของลูกผสมที่ควรจะได้ พบว่าเมื่อบ่มในอาหารดังกล่าวเป็นเวลา 5 วัน สามารถคัดเลือกเซลล์ผสม (Fusant) ในขั้นต้นบนอาหารคัดเลือกดังกล่าวได้ทั้งหมด 7 โคโลนี คิดเป็นความถี่การเกิดเซลล์ผสม (fusion frequency) ร้อยละ 2.5 โดยคำนวณจาก จำนวนโคโลนีที่ขึ้นบนอาหารคัดเลือกเฉพาะเซลล์ผสมต่อจำนวนโคโลนีที่ขึ้นบนอาหารลุ่มบวรัลทั่วไป และให้ชื่อเซลล์ผสมว่า Fu-d<sub>1</sub>, Fu-d<sub>2</sub>, Fu-d<sub>3</sub>... และ Fu-d<sub>7</sub> ตามลำดับ

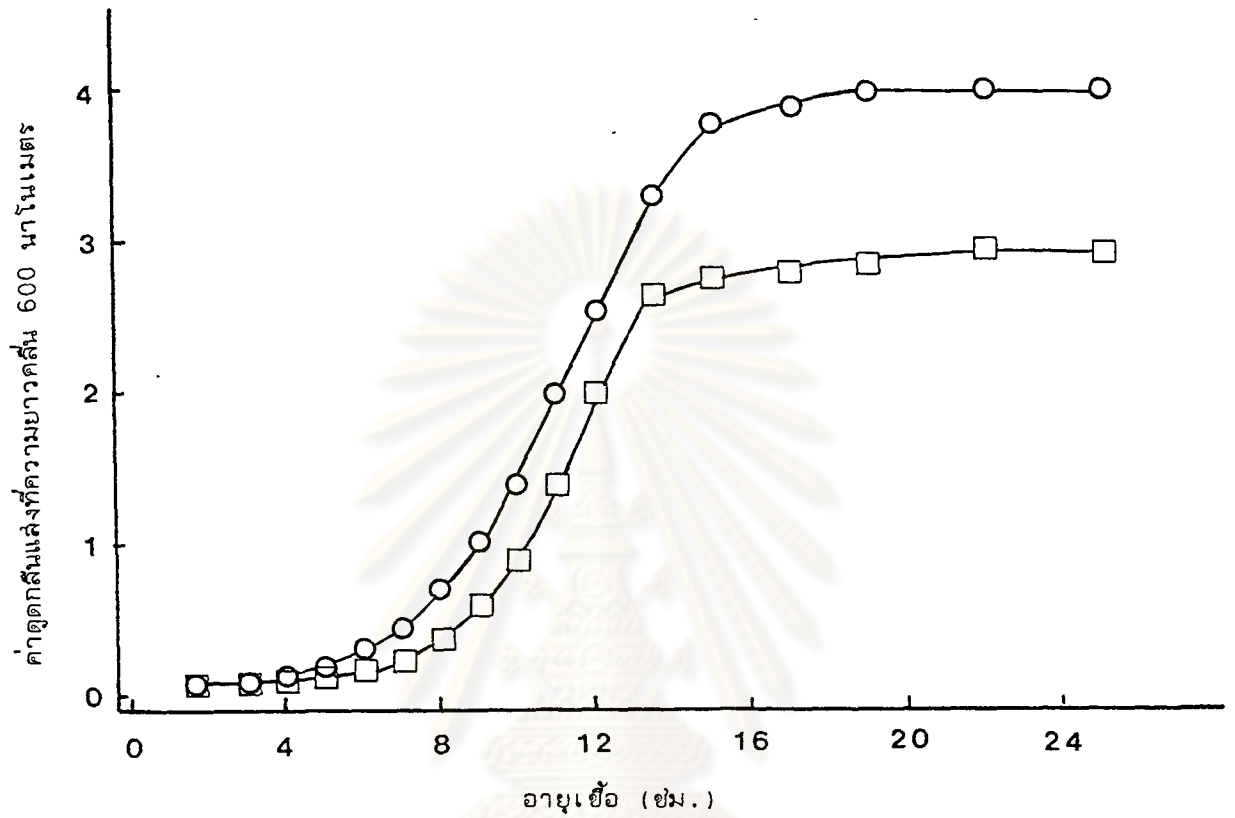
ผลการทดสอบความสามารถในการขึ้นบนอาหารต่ำลุ่มบวรัลที่ไม่เติมไลซีน และที่เติมไลซีน ปรากฏดังตารางที่ 3

ตารางที่ 3 การตรวจสอบลักษณะของยีสต์เซลล์ผสมที่ได้จากการทดลองซึ่งเจริญบนอาหารต่ำสมบูรณ์ที่เติมและไม่เติมไลซีน เปรียบเทียบกับสายพันธุ์พ่อแม่

สายพันธุ์	ชนิดของอาหารแข็งที่ทดสอบ			จีโนไทป์
	อาหารต่ำสมบูรณ์	อาหารต่ำสมบูรณ์ + ไลซีน	อาหารวายเป็นดี	
$\alpha\alpha(\text{Fu-d}_1) - \alpha\alpha(\text{Fu-d}_7)$	-	+	+	$\alpha/\alpha$ <u>lys 9</u>
$\alpha$ STX 166 - 17 C	-	-	+	$\alpha$ <u>lys 9</u> <u>ade 2</u>
$\alpha$ STX 174 - 4 D	-	-	+	$\alpha$ <u>lys 9</u> <u>met 2</u> <u>ura 1</u>

หมายเหตุ + หมายถึง เจริญบนอาหารชนิดนั้น  
- หมายถึง ไม่เจริญ

ศูนย์วิทยทรัพยากร  
จุฬาลงกรณ์มหาวิทยาลัย



กราฟที่ 1 แสดงอัตราการเจริญเติบโต (Growth curve) ของยีสต์สายพันธุ์ STX 166 - 17 C และ STX 174 - 4 D ในอาหารเหลววุ้นที่บนเครื่องเขย่าความเร็ว 250 รอบต่อนาที อุณหภูมิ 30° ซ.

○—○ สายพันธุ์ STX 166 - 17 C

□—□ สายพันธุ์ STX 174 - 4 D

2. ลักษณะและการตรวจสอบเอกลักษณ์ของยีสต์เซลล์ผสมที่เกิดจากวิธีการรวมตัวของ

เซลล์โปรโตพลาสต์ (Characteristics and identification of fusants)

2.1 ลักษณะวิทยา

ลักษณะโคโลนีของยีสต์เซลล์ผสมที่ได้คือ  $\alpha\alpha$  (Fu-d<sub>1</sub>)- $\alpha\alpha$  (Fu-d<sub>7</sub>) บนอาหารแข็ง มีลักษณะแตกต่างไปจากโคโลนีของสายพันธุ์  $\alpha$  STX 166 - 17 C และ  $\alpha$  STX 174 - 4 D ซึ่งเป็นสายพันธุ์พ่อแม่ที่นำมาผสมกัน ดังตารางที่ 4

ตารางที่ 4 แสดงลักษณะโคโลนีของเซลล์ผสมเปรียบเทียบกับสายพันธุ์พ่อแม่บนอาหารแข็ง  
ว้ายพิดี

สายพันธุ์		
$\alpha$ STX 166 - 17 C ( <u>lys</u> 9 <u>ade</u> 2)	$\alpha$ STX 174 - 4 D ( <u>lys</u> 9 <u>met</u> 2 <u>ura</u> 1)	Fusant ( <u>lys</u> 9)
โคโลนีมีลักษณะกลมมนเป็นรูป โตมตรงกลางขอบเรียบ, ขณะ อายุอ่อนโคโลนีมีสีแดงจาง ๆ (Red pigment) เนื่องจาก มีความผิดปกติของยีนเกี่ยวกับการ การสร้างอดีนินตรงตำแหน่ง <u>ade</u> 2 แต่สีที่เกิดไม่แพร่สู่ อาหาร และจะมีสีแดงเข้มขึ้น เมื่ออายุมากขึ้น	โคโลนีมีลักษณะกลมมนตรง กลางและแบนราบที่ขอบคล้าย ไข่ดาว, ขอบเรียบโคโลนีมีสี ครีมอมเหลือง เนื่องจากมี ความผิดปกติของยีนเกี่ยวกับ การสร้างไลซีนตรงตำแหน่ง <u>lys</u> 9	โคโลนีมีลักษณะกลมมนตรง - กลาง, ขอบเรียบโคโลนีมีสี ครีมอมเหลืองคล้ายสายพันธุ์ $\alpha$ STX 174-4 D

จากการศึกษาลักษณะเซลล์ด้วยกล้องจุลทรรศน์ โดยวัดขนาดของเซลล์ด้วยออกคูลาร์ไมโครมิเตอร์ พบว่า เซลล์ที่ได้มีขนาดและปริมาณใหญ่กว่าสายพันธุ์พ่อแม่ ดังแสดงไว้ในตารางที่ 5

นอกจากนี้ลักษณะพื้นฐานของเซลล์จากกล้องจุลทรรศน์มีลักษณะที่ต่างจากสายพันธุ์พ่อแม่เดิม ดังรูปภาพที่ 3,4,5 โดยสายพันธุ์  $\alpha$  STX 166 - 17 C มีลักษณะเซลล์ค่อนข้างกลม (spherical) สายพันธุ์  $\alpha$  STX 174 - 4 D มีลักษณะยาวรี ขณะที่เซลล์  $\alpha\alpha$  (Fu-d<sub>1</sub>) ที่ได้มีลักษณะกลม รี กว่า

ตารางที่ 5 แสดงขนาดและปริมาณของเซลล์ที่ได้ทั้งหมด  $\alpha\alpha$ (Fu-d<sub>1</sub>) -  $\alpha\alpha$ (Fu-d<sub>7</sub>) เปรียบเทียบกับสายพันธุ์พ่อแม่  $\alpha$  STX 166 - 17 C,  $\alpha$  STX 174 - 4 D โดยคำนวณปริมาตรของเซลล์จากสูตรปริมาตรวงรี ดังต่อไปนี้

สายพันธุ์ที่ศึกษา	ขนาด (ไมครอน)		ปริมาตร (ไมครอน) <sup>3</sup>
	กว้าง	ยาว	
$\alpha$ STX 166 - 17 C	3.689 $\pm$ 0.366	4.046 $\pm$ 0.598	29.48 $\pm$ 9.93
$\alpha$ STX 174 - 4 D	4.344 $\pm$ 0.382	5.474 $\pm$ 0.712	56.01 $\pm$ 18.55
$\alpha\alpha$ (Fu-d <sub>1</sub> )	5.474 $\pm$ 1.184	7.616 $\pm$ 1.744	128.43 $\pm$ 66.12
$\alpha\alpha$ (Fu-d <sub>2</sub> )	5.355 $\pm$ 0.819	7.319 $\pm$ 1.111	113.91 $\pm$ 46.49
$\alpha\alpha$ (Fu-d <sub>3</sub> )	5.296 $\pm$ 0.817	8.033 $\pm$ 1.677	122.39 $\pm$ 51.26
$\alpha\alpha$ (Fu-d <sub>4</sub> )	5.772 $\pm$ 0.887	7.616 $\pm$ 1.119	138.41 $\pm$ 59.02
$\alpha\alpha$ (Fu-d <sub>5</sub> )	6.724 $\pm$ 1.041	8.747 $\pm$ 1.176	216.57 $\pm$ 76.02
$\alpha\alpha$ (Fu-d <sub>6</sub> )	5.593 $\pm$ 0.954	7.735 $\pm$ 1.520	133.11 $\pm$ 58.30
$\alpha\alpha$ (Fu-d <sub>7</sub> )	5.117 $\pm$ 0.782	6.724 $\pm$ 1.238	97.85 $\pm$ 47.53

## 2.2 ปริมาณดีเอ็นเอในเซลล์

การทดลองวัดปริมาณดีเอ็นเอ โดยใช้โดเพนิลามีน วิธีของ Schneider พบว่า ดีเอ็นเอของเซลล์ลัม  $\alpha\alpha$  (Fu-d<sub>1</sub>) -  $\alpha\alpha$  (Fu-d<sub>7</sub>) มีปริมาณมากกว่าดีเอ็นเอของสายพันธุ์พ่อแม่ โดยมีปริมาณดีเอ็นเอใกล้เคียงกับปริมาณดีเอ็นเอของสายพันธุ์พ่อแม่และแม่ร่วมกัน ดังตารางที่ 6

ตารางที่ 6 แสดงปริมาณดีเอ็นเอของเซลล์ลัม  $\alpha\alpha$  (Fu-d<sub>1</sub>) -  $\alpha\alpha$  (Fu-d<sub>7</sub>) เปรียบเทียบกับสายพันธุ์พ่อแม่ คือ  $\alpha$  STX 166 - 17 C และ  $\alpha$  STX 174 - 4 D จากการทำให้ 5 ซ้ำ

สายพันธุ์	ปริมาณดีเอ็นเอ
	<sup>11</sup> (มก./10 เซลล์)
$\alpha$ STX 166 - 17 C	1.576 ± 0.0847
$\alpha$ STX 174 - 4 D	3.801 ± 0.0862
$\alpha\alpha$ (Fu-d <sub>1</sub> )	5.292 ± 0.0975
$\alpha\alpha$ (Fu-d <sub>2</sub> )	5.250 ± 0.0507
$\alpha\alpha$ (Fu-d <sub>3</sub> )	5.234 ± 0.1497
$\alpha\alpha$ (Fu-d <sub>4</sub> )	5.238 ± 0.1372
$\alpha\alpha$ (Fu-d <sub>5</sub> )	5.312 ± 0.1263
$\alpha\alpha$ (Fu-d <sub>6</sub> )	5.281 ± 0.2633
$\alpha\alpha$ (Fu-d <sub>7</sub> )	5.354 ± 0.1262

## 2.3 อัตราการเจริญเติบโตของเซลล์ลัมในอาหารเหลว (Growth Curve)

จากการศึกษาอัตราการเจริญเติบโตของเซลล์ลัม ในอาหารเหลววายฟิตี บนเครื่องเขย่าความเร็ว 250 รอบต่อนาที พบลักษณะพิเศษของเซลล์ลัม มีแบบ (pattern) ของกราฟการเจริญซึ่งต่างไปจากการเจริญของสายพันธุ์พ่อแม่ คือ เซลล์ลัมที่ได้มีการเจริญเติบโตในช่วงการเจริญแบบทวีคูณ 2 ครั้ง ที่เรียกว่า "Diauxic growth" หลังจากเซลล์เข้าสู่ปลายระยะการเจริญแบบทวีคูณครั้งแรกประมาณ ชม.ที่  $9\frac{1}{2}$  เซลล์มีอัตราการเพิ่มจำนวนช้ามาก ดูเหมือนเข้าสู่ภาวะคงที่ (stationary phase) โดยวัดจำนวนเซลล์ด้วยความขุ่น จากปริมาณเซลล์

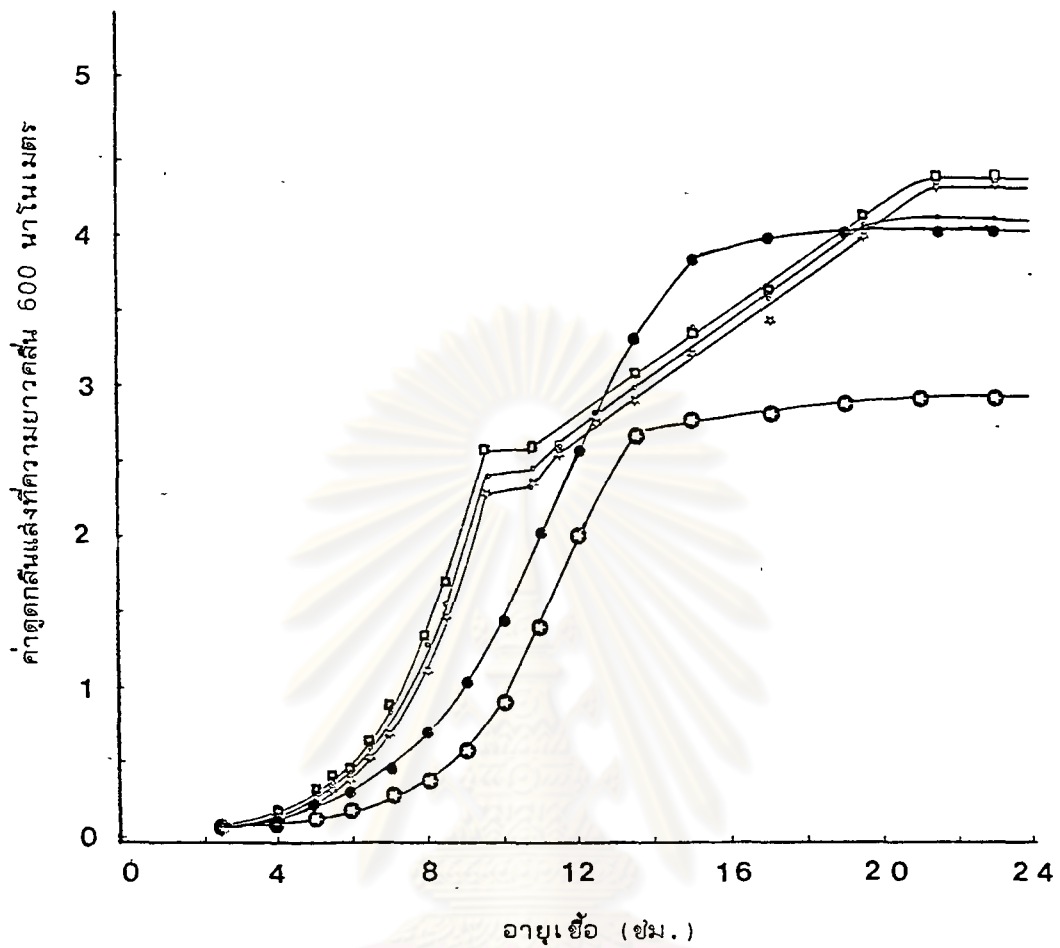
วัดไดโน ชม.ที่ 11 มีค่าไม่ต่างไปจาก ชม.ที่  $9\frac{1}{2}$  และเมื่อวัด ชม.ที่  $11\frac{1}{2}$  พบว่าปริมาณเซลล์มีค่าเพิ่มขึ้นอีก และพบว่าปริมาณเซลล์จะเพิ่มขึ้นอย่างรวดเร็วอีกครั้งหนึ่ง เข้าสู่ระยะการเจริญแบบทวีคูณครั้งที่ 2 การทดลองได้ลุ่มเซลล์ผสม  $\alpha\alpha$  (Fu-d<sub>1</sub>),  $\alpha\alpha$  (Fu-d<sub>2</sub>) และ  $\alpha\alpha$  (Fu-d<sub>3</sub>) ของเซลล์ผสมทั้งหมด ได้พบลักษณะการเจริญของเซลล์ผสมทั้ง 3 ที่ลุ่ม เป็นแบบเดียวกันมีอัตราการเจริญในช่วงทวีคูณ 2 ครั้ง โดยศึกษาเปรียบเทียบกับสายพันธุ์  $\alpha$  STX 166 - 17 C  $\alpha$  STX 174 - 4 D ซึ่งเป็นสายพันธุ์พ่อแม่ที่ใช้ ไม่พบลักษณะการเจริญในช่วงการเจริญแบบทวีคูณ 2 ครั้ง ดังกราฟรูปที่ 2

การคำนวณอัตราการเจริญเติบโตในหน่วยเจเนอเรชันไทม์ (Generation time) ของเซลล์ผสมในระยะการเจริญแบบทวีคูณ ช่วงที่เป็นเส้นตรง เปรียบเทียบกับสายพันธุ์พ่อแม่ โดยใช้สูตร 
$$K = \frac{\log N_T - \log N_0}{\log 2 (t_2 - t_1)}$$
 ค่าของค่า 1/K ดังกล่าวแล้ว พบอัตราการเจริญ

แตกต่างกัน ดังปรากฏในตารางที่ 7

ตารางที่ 7 แสดงอัตราการเจริญเติบโตในหน่วยเจเนอเรชันไทม์ (1/K) ของเซลล์ผสม  $\alpha\alpha$  (Fu-d<sub>1</sub>),  $\alpha\alpha$  (Fu-d<sub>2</sub>),  $\alpha\alpha$  (Fu-d<sub>3</sub>) เปรียบเทียบกับสายพันธุ์พ่อแม่ คือ  $\alpha$  STX 166 - 17 C และ  $\alpha$  STX 174 - 4 D

สายพันธุ์	อัตราการเจริญเติบโต (1/K)	
	การเจริญแบบทวีคูณครั้งที่ 1	การเจริญแบบทวีคูณครั้งที่ 2
$\alpha$ STX 166 - 17 C	2 ชม. 44 นาที	ไม่มี
$\alpha$ STX 174 - 4 D	2 ชม. 47 นาที	ไม่มี
$\alpha\alpha$ (Fu-d <sub>1</sub> )	1 ชม. 27 นาที	5 ชม. 48 นาที
$\alpha\alpha$ (Fu-d <sub>2</sub> )	1 ชม. 27 นาที	5 ชม. 52 นาที
$\alpha\alpha$ (Fu-d <sub>3</sub> )	1 ชม. 33 นาที	5 ชม. 28 นาที



กราฟที่ 2 แสดงอัตราการเจริญเติบโต (Growth curve) ของเซลล์ผสม  $\alpha\alpha$  (Fu-d<sub>1</sub>),  $\alpha\alpha$  (Fu-d<sub>2</sub>) และ  $\alpha\alpha$  (Fu-d<sub>3</sub>) กับสายพันธุ์พ่อแม่  $\alpha$  STX 166 - 17 C และ  $\alpha$  STX 174 - 4 D

- ยีสต์เซลล์ผสม  $\alpha\alpha$  (Fu-d<sub>1</sub>)
- ☆—☆ "  $\alpha\alpha$  (Fu-d<sub>2</sub>)
- "  $\alpha\alpha$  (Fu-d<sub>3</sub>)
- สายพันธุ์  $\alpha$  STX 166 - 17 C
- ⊙—⊙ "  $\alpha$  STX 174 - 4 D



## 2.4 ความสามารถของยีสต์เซลล์ผสมในการตอบสนองต่อสายพันธุ์บ่งเพศที่ตรงข้าม (Mating Response)

จากการทดลองผสม  $\alpha\alpha$  (Fu-d<sub>1</sub>) ซึ่งเป็นลูกผสมที่ได้จากวิธีการรวมตัวของเซลล์โปรโตพลาสต์ และคาดว่าเป็นดิพลอยด์ มีสายพันธุ์บ่งเพศ  $\alpha/\alpha$  และตำหนิเป็น lys 9 กับ a AH-22 (cir<sup>+</sup>) ซึ่งเป็นแอมพลอยด์ มีสายพันธุ์บ่งเพศ a และตำหนิเป็น leu 8-3 leu 2-112 his 4 can 1 โดยอาศัยการรวมโดยอาศัยเพศตามหลักการธรรมชาติ พบว่า  $\alpha\alpha$  (Fu-d<sub>1</sub>) สามารถผสมกับ a AH-22 (cir<sup>+</sup>) ซึ่งมีสายพันธุ์บ่งเพศที่ตรงข้ามกัน เกิดลูกผสมใหม่บนอาหารแข็งที่ไม่เติมกรดอะมิโน ให้ยีสต์ลูกผสมใหม่ที่ได้นี้ว่า  $\alpha\alpha a$  (Fu-t) สันนิษฐานเบื้องต้นว่า  $\alpha\alpha a$  (Fu-t) ควรเป็นทรिพลอยด์ ตามทฤษฎีที่นำดิพลอยด์ รวมกับแอมพลอยด์ โดยวัดขนาด, ปริมาตร และปริมาณดีเอ็นเอของเซลล์ที่เพิ่มขึ้น ดังตารางที่ 8

ตารางที่ 8 แสดงการวัดขนาด, ปริมาตร และปริมาณดีเอ็นเอของลูกผสม  $\alpha\alpha a$  (Fu-t) ที่เกิดจากการผสมระหว่าง  $\alpha\alpha$  (Fu-d<sub>1</sub>) และ a AH-22 (cir<sup>+</sup>)

สายพันธุ์ที่ศึกษา	ขนาด (ไมครอน)		ปริมาตร (ไมครอน) <sup>3</sup>	ปริมาณดีเอ็นเอ มก./10 <sup>11</sup> เซลล์
	กว้าง	ยาว		
$\alpha\alpha$ (Fu-d <sub>1</sub> )	5.474 ± 1.184	7.616 ± 1.744	128.43 ± 66.12	5.292 ± 0.0975
a AH-22 (cir <sup>+</sup> )	4.582 ± 1.352	5.117 ± 1.164	66.73 ± 47.66	2.777 ± 0.0432
$\alpha\alpha a$ (Fu-t)	4.998 ± 0.5017	9.284 ± 1.094	132.48 ± 51.62	6.305 ± 0.2815

ผลการศึกษายบวณการสร้างสปอร์ (Sporulation) ของ  $\alpha\alpha a$  (Fu-t) พบว่าสามารถเกิดมายีสต์ให้แอสโคสปอร์บนอาหารแข็งวุ้นพีดี หลังจากเลี้ยงบนอาหารชนิดนี้ 9 วัน และบนอาหารแข็งอซีเตต หลังจากเลี้ยงบนอาหารชนิดนี้ 5 วัน แต่ไม่ได้ศึกษาลักษณะสัณนิษฐานของแต่ละแอสโคสปอร์ที่ได้

ผลการทดลองหาอัตราการเจริญเติบโตของลูกผสม  $\alpha\alpha a$  (Fu-t) ในอาหารเหลววุ้นพีดี พบลักษณะการเจริญที่ต่างจากสายพันธุ์ a AH-22 (cir<sup>+</sup>) แต่คล้าย  $\alpha\alpha$  (Fu-d<sub>1</sub>) กล่าวคือ มีการเจริญเติบโตในระยะทวีคูณ 2 ครั้ง หรือ Diauxic growth หลังจากที่ใช้

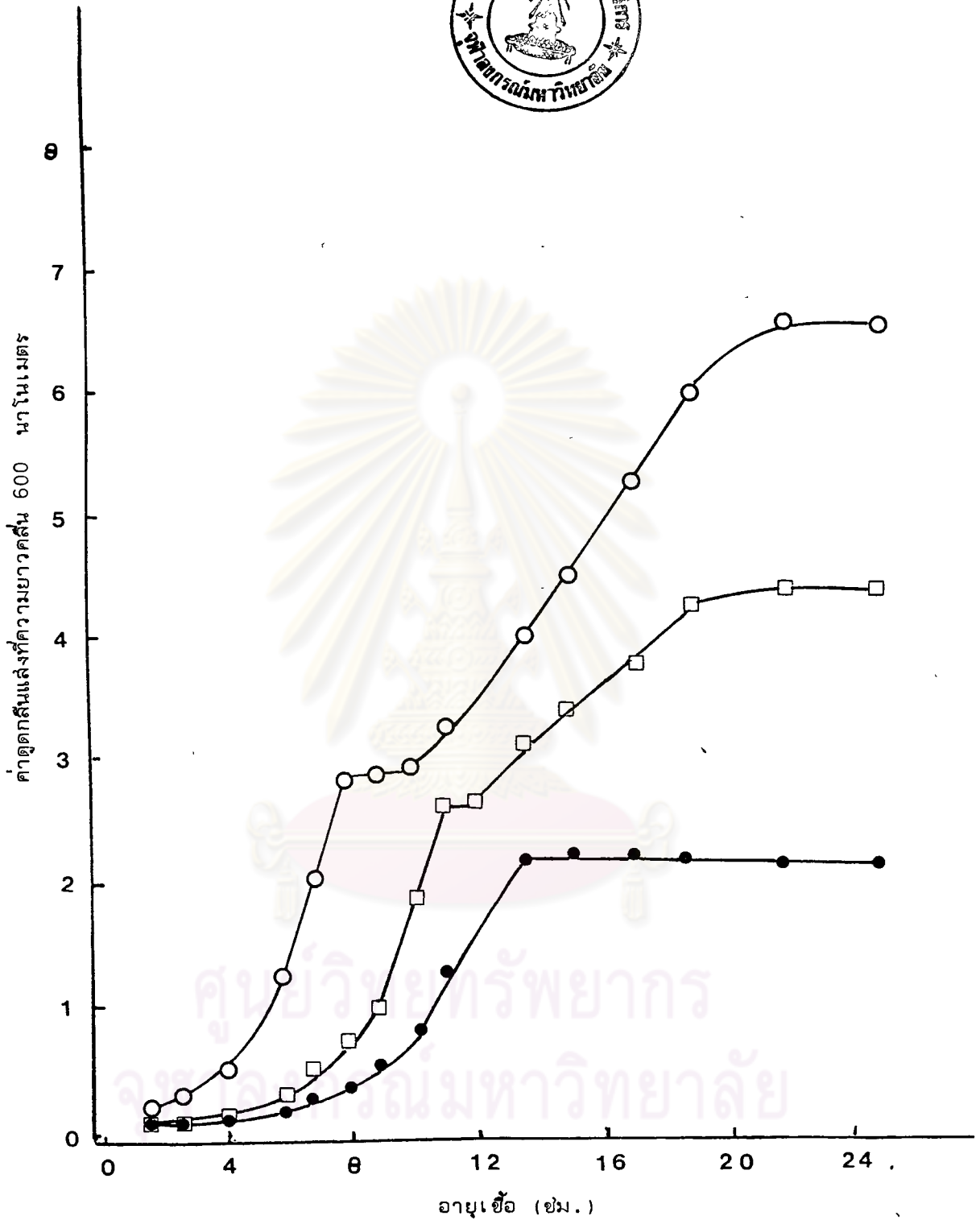
เข้าสู่ระยะทวีคูณตอนปลายใน ชม.ที่ 8 เซลล์มีอัตราการเพิ่มจำนวนช้ามาก จนดูเหมือนเข้าสู่สภาวะคงที่ ปริมาณเซลล์ที่วัดได้จากเครื่องวัดค่าดูดกลืนแสงใน ชม.ที่ 9 และ 10 มีค่าไม่ต่างจาก ชม.ที่ 8 แต่หลังจากผ่านพ้น ชม.ที่ 10 พบว่า ปริมาณเซลล์ที่ได้มีค่าเพิ่มขึ้นอย่างรวดเร็วและเข้าสู่ระยะทวีคูณที่ 2 ดังแสดงในกราฟรูปที่ 3

จากกราฟรูปที่ 3 พบแบบกราฟการเจริญของการเพิ่มจำนวนเซลล์โดยพิจารณาจากค่าดูดกลืนแสงที่ความยาวคลื่น 600 นาโนเมตร จนกระทั่งสิ้นสุดการทดลองที่ ชม.ที่ 24 ในระหว่าง แอสฟลอยด์, ดิฟฟลอยด์ และทรฟฟลอยด์ ของ a AH-22 ( $\text{cir}^+$ ),  $\alpha\alpha$  (Fu-d<sub>1</sub>) และ  $\alpha\alpha a$  (Fu-t) ตามลำดับ พบว่า  $\alpha\alpha a$  (Fu-t) ซึ่งเป็นทรฟฟลอยด์ มีการเพิ่มจำนวนเซลล์มากกว่า  $\alpha\alpha$  (Fu-d<sub>1</sub>) ซึ่งเป็นดิฟฟลอยด์ และ  $\alpha\alpha$  (Fu-d<sub>1</sub>) นี้ มีการเพิ่มจำนวนเซลล์มากกว่า a AH-22 ( $\text{cir}^+$ ) ซึ่งเป็นแอสฟลอยด์เซลล์ โดยการเพิ่มจำนวนเซลล์พบว่า  $\alpha\alpha a$  (Fu-t) มีการเพิ่มจำนวนที่มากกว่า a AH-22 ( $\text{cir}^+$ ) 3 เท่า และ  $\alpha\alpha$  (Fu-d<sub>1</sub>) มีการเพิ่มจำนวนที่มากกว่า a AH-22 ( $\text{cir}^+$ ) 2 เท่า เมื่อเซลล์เข้าสู่ระยะคงที่

จากผลการคำนวณอัตราการเพิ่มจำนวนในระยะทวีคูณที่เป็นเส้นตรงของ  $\alpha\alpha a$  (Fu-t) เปรียบเทียบกับ  $\alpha\alpha$  (Fu-d<sub>1</sub>) และ a AH-22 ( $\text{cir}^+$ ) พบค่าอัตราการเพิ่มจำนวนแตกต่างกัน ดังแสดงไว้ในตารางที่ 9

ตารางที่ 9 แสดงอัตราการเจริญเติบโตในหน่วยเจเนอเรชันไทม์ (1/K) ของลูกผสม  $\alpha\alpha a$  (Fu-t) ที่ได้จากการผสมระหว่าง  $\alpha\alpha$  (Fu-d<sub>1</sub>) กับ a AH-22 ( $\text{cir}^+$ )

สายพันธุ์ที่ศึกษา	อัตราการเจริญเติบโต	
	การเจริญแบบทวีคูณครั้งที่ 1	การเจริญแบบทวีคูณครั้งที่ 2
a AH-22 ( $\text{cir}^+$ )	2 ชม. 44 นาที	ไม่มี
$\alpha\alpha$ (Fu-d <sub>1</sub> )	1 ชม. 35 นาที	5 ชม. 34 นาที
$\alpha\alpha a$ (Fu-t)	1 ชม. 2 นาที	4 ชม. 43 นาที



กราฟที่ 3 แสดงอัตราการเจริญเติบโต (Growth curve) ของยีสต์ลูกผสม  $\alpha\alpha a (Fu-t)$ ,  $\alpha\alpha (Fu-d_1)$ ,  $a AH-22 (cir^+)$  ในอาหารเหลวฉายพืติ บนเครื่องเขย่า ความเร็ว 250 รอบต่อนาที อุณหภูมิ  $30^{\circ}C$ .

- $\alpha\alpha a (Fu-t)$
- $\alpha\alpha (Fu-d_1)$
- $a AH-22 (cir^+)$

3. สภาพนิเวศของยีสต์เซลล์ผสมที่ได้จากวิธีการรวมตัวของเซลล์โปรโตพลาสต์

3.1 การย้อมนิเวศของยีสต์ด้วยวิธีการสีหมึก

จากการย้อมสี เพื่อศึกษาจำนวนสภาพของนิเวศของเซลล์ภายในเซลล์ผสมที่ได้จากวิธีการรวมตัวของเซลล์โปรโตพลาสต์ พบลักษณะที่มีการติดสีคล้ายนิเวศของเซลล์เป็นจำนวนแตกต่างกันตั้งแต่ 1-5 นิเวศของเซลล์ ภายใน 1 เซลล์ ดังรูปภาพที่ 6 และมีขนาดนิเวศของเซลล์ที่แตกต่างกัน ซึ่งไม่สามารถสรุปว่าสิ่งที่เห็นจะใช้นิเวศของเซลล์หรือไม่

3.2 การศึกษาสภาพนิเวศของยีสต์ด้วยกล้องจุลทรรศน์อิเล็กตรอนแบบลำแสงผ่านตัวอย่าง

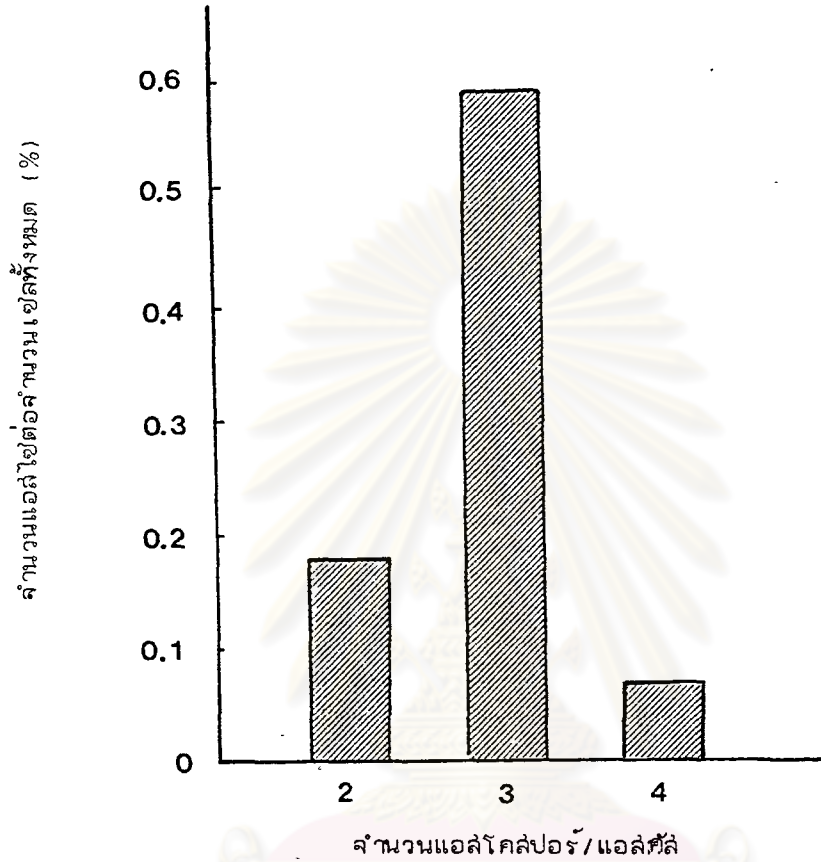
จากการศึกษาจำนวนและสภาพนิเวศของเซลล์ผสมด้วยกล้องจุลทรรศน์อิเล็กตรอนแบบลำแสงผ่านตัวอย่าง โดยการตรวจในหลาย ๆ วิธของตัวอย่างที่เตรียมเพื่อศึกษา พบว่าภายในเซลล์ผสมมี 1-นิเวศของเซลล์ แทบทุกเซลล์ ดังรูปภาพที่ 7

4. การทดลองยีน KAR ในสายพันธุ์  $\infty$  STX 166 - 17 C และ  $\infty$  STX 174 - 4 D

เนื่องจากยีสต์ทั้ง 2 สายพันธุ์ มิได้ระบุการทำงานของยีน KAR ซึ่งทำการทดลองยีน KAR ในสายพันธุ์ทั้ง 2 ผลการทดลองพบว่า ยีนที่ควบคุมการรวมกันของนิเวศของเซลล์ โดยยีน KAR ในสายพันธุ์  $\infty$  STX 166 - 17 C และ  $\infty$  STX 174 - 4 D ซึ่งเป็นสายพันธุ์พ่อแม่ที่ใช้ยีน KAR ปกติศึกษาจากความสามารถในการเกิดแอลกอฮอล์ปอร์บนอาหารแข็งอซีเตต และวายเป็นครั้งแรกที่สามารถตรวจพบการเกิดแอลกอฮอล์ปอร์ ดังตารางที่ 10 และความสามารถในการเกิดแอลกอฮอล์ปอร์ชนิดต่าง ๆ ในแอลกอฮอล์ ดังกราฟรูปที่ 4 และ 5

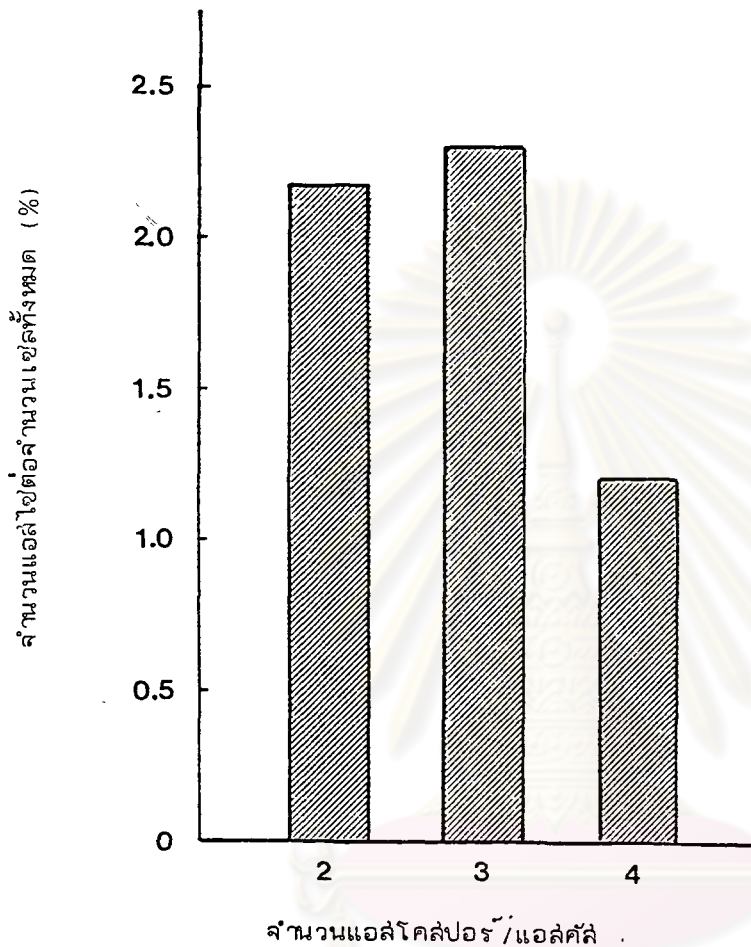
ตารางที่ 10 แสดงผลการทดลองยีน KAR ในสายพันธุ์  $\infty$  STX 166 - 17 C และสายพันธุ์  $\infty$  STX 174 - 4 D

สายพันธุ์ที่ศึกษา	จำนวนวันที่สามารถสร้างแอลกอฮอล์ปอร์บน	
	อาหารอซีเตต	อาหารวายเป็น
$\infty$ STX 166 - 17 C + a AH-22 (cir <sup>+</sup> )	9	15
$\infty$ STX 174 - 4 D + a AH-22(cir <sup>+</sup> )	3	5



กราฟที่ 4 แสดงจำนวนแอสไยที่มีจำนวนแอสโคลัปอร์ต่อแอสคีลเป็น 2, 3 และ 4 ที่เกิดจากการผสมระหว่างสายพันธุ์  $\infty$  STX 166 - 17 C กับ a AH-22( $\text{cir}^+$ ) โดยอาศัยยีน KAR และสายพันธุ์บ่งเพศ  $\infty$ , a ตามธรรมชาติ

จุฬาลงกรณ์มหาวิทยาลัย



กราฟที่ 5 แสดงจำนวนแอสไชที่มีจำนวนแอสไชต่อแอสไชเป็น 2, 3 และ 4 ที่เกิดจากการผสมระหว่างสายพันธุ์  $\infty$  STX 174 - 4 D กับ a AH-22 ( $\text{cir}^+$ ) โดยอาศัยยีน KAR และสายพันธุ์บ่งเพศ  $\infty$ , a ตามธรรมชาติ

5. ความเสถียรทางพันธุกรรมของเซลล์ผสมที่เกิดจากวิธีการรวมตัวของเซลล์โปรโตพลาสต์  
(Genetic Stability of Fusant)

จากผลการทดลองพบว่าฟีโนไทป์ส่วนใหญ่ของเซลล์ผสม ยังคงขาดไลซีนตามที่คัดเลือกไว้ แม้จะเก็บรักษาเชื้อไว้เป็นเวลา 1 ปี ยกเว้นในเซลล์ผสม  $\alpha\alpha$  (Fu-d<sub>1</sub>) ที่พบฟีโนไทป์ที่แปลกคือเป็น lys และ met และใน  $\alpha\alpha$  (Fu-d<sub>4</sub>) ที่พบฟีโนไทป์ lys met ura เหมือนสายพันธุ์  $\alpha$  STX 174 - 4 D ด้วยความถี่ 0.50% และ 4.40% ตามลำดับดังตารางที่ 11 นอกจากนี้ยังพบเซลล์ปกติ (Prototroph) ที่ไม่ต้องการกรดอะมิโนชนิดใดเลย โดยสามารถขึ้นบนอาหารต่ำสมบูรณ์ที่ไม่มีการเติมกรดอะมิโน

ตารางที่ 11 แสดงฟีโนไทป์ของเซลล์ผสม  $\alpha\alpha$  (Fu-d<sub>1</sub>) -  $\alpha\alpha$  (Fu-d<sub>7</sub>) ที่เกิดจากการรวมตัวของเซลล์โปรโตพลาสต์ระหว่าง  $\alpha$  STX 166 - 17 C (lys 9 ade 2) และ  $\alpha$  STX 174 - 4 D (lys 9 met 2 ura 1) หลังจากเก็บรักษาเชื้อไว้เป็นเวลา 1 ปี ที่ 4° ซ.

เซลล์ผสม	จำนวนโคโลนี	ฟีโนไทป์									
		Prototroph		lys	lys ade	lys.met	lys ura	lys ade met	lys met ura	lys ade ura	lys ade met ura
		จำนวน	ร้อยละ								
$\alpha\alpha$ (Fu-d <sub>1</sub> )	202	3	1.49	198	0	1	0	0	0	0	0
$\alpha\alpha$ (Fu-d <sub>2</sub> )	118	1	0.85	117	0	0	0	0	0	0	0
$\alpha\alpha$ (Fu-d <sub>3</sub> )	228	2	0.88	226	0	0	0	0	0	0	0
$\alpha\alpha$ (Fu-d <sub>4</sub> )	182	3	1.65	171	0	0	0	0	8	0	0
$\alpha\alpha$ (Fu-d <sub>5</sub> )	153	2	1.31	151	0	0	0	0	0	0	0
$\alpha\alpha$ (Fu-d <sub>6</sub> )	124	1	0.81	123	0	0	0	0	0	0	0
$\alpha\alpha$ (Fu-d <sub>7</sub> )	158	1	0.63	157	0	0	0	0	0	0	0

6. เวลาที่เหมาะสมในการฉายแสงอุลตราไวโอเลตซึ่งสามารถชักนำให้เกิดการเปลี่ยนสายพันธุ์  
บ่งเพศ และเกิดกระบวนการสร้างแอสโคสปอร์ และอัตราการความถี่การเปลี่ยนสายพันธุ์บ่งเพศ

6.1 อิทธิพลการฉายแสงอุลตราไวโอเลตที่เวลาต่าง ๆ ซึ่งมีผลต่ออัตราการรอดชีวิตของ  
ยีสต์เซลล์ผสม

เมื่อฉายแสงอุลตราไวโอเลตไปยังยีสต์เซลล์ผสม  $cc (Fu-d_1)$  ไม่เกิน 15 วินาที  
อัตราการรอดชีวิตของยีสต์ไม่เกินร้อยละ 75 ดังกราฟรูปที่ 6

6.2 อัตราการความถี่การเปลี่ยนสายพันธุ์บ่งเพศจาก  $c$  เป็น  $a$

ผลการทดลองพบว่า แสงอุลตราไวโอเลตสามารถชักนำให้เกิดการเปลี่ยนสายพันธุ์  
บ่งเพศในเซลล์ผสม  $cc (Fu-d_1)$  ทำให้เกิดกระบวนการสร้างสปอร์ (sporulation) มีแอส-  
โคสปอร์เกิดขึ้นในแอสคัส ดังรูปภาพที่ 8 และเมื่อฉายแสงอุลตราไวโอเลตห่างจากเซลล์ผสม  
 $cc (Fu-d_1)$  50 ซม. เป็นเวลา 10 วินาที สามารถชักนำให้เกิดการเปลี่ยนสายพันธุ์บ่งเพศ  
ของยีสต์เซลล์ผสมได้สูงที่สุดร้อยละ 44.33 โดยศึกษาจากจำนวนโคโลนีที่สามารถสร้างแอสไซโต้  
บนอาหารแข็งอซีเตตหลังจากฉายแสงอุลตราไวโอเลต ดังกราฟรูปที่ 7

7. ซิโนโทพ์ และสายพันธุ์บ่งเพศในแอสโคสปอร์ที่เกิดขึ้นของเซลล์ผสม  $cc (Fu-d_1)$  จาก  
การฉายแสงอุลตราไวโอเลต

7.1 จำนวนและชนิดของแอสโคสปอร์ในแอสคัส

ผลการทดลองพบว่า จำนวนแอสไซโต้ที่เกิดขึ้นจากการชักนำด้วยแสงอุลตราไวโอเลต  
ของ  $cc (Fu-d_1)$  มีจำนวนแตกต่างกัน โดยให้จำนวนแอสไซโต้สูงที่สุดเมื่อฉายแสงเป็นเวลา 12  
วินาที ดังกราฟรูปที่ 8 นอกจากนี้ยังพบว่าจำนวนแอสโคสปอร์ในแอสคัสแตกต่างกันตามเวลา  
การฉายแสงอุลตราไวโอเลต โดยให้จำนวนแอสโคสปอร์ชนิด 4 แอสโคสปอร์ต่อแอสคัสสูงที่สุด  
เมื่อฉายแสงนาน 12 วินาที แอสคัสชนิด 3 แอสโคสปอร์ต่อแอสคัสสูงที่สุด เมื่อฉายแสงนาน 12  
วินาทีเช่นกัน แต่ให้จำนวนแอสโคสปอร์ชนิด 2 แอสโคสปอร์ต่อแอสคัสสูงที่สุด เมื่อฉายแสงนาน  
10 วินาที ดังกราฟรูปที่ 9, 10 และ 11 ตามลำดับ

7.2 การแยกแอสโคสปอร์ในแต่ละแอสคัสโดยใช้เครื่องมือไมโครมานิปูเลเตอร์

รูปภาพที่ 9 แสดงขั้นตอนการแยกแอสโคสปอร์จากแอสคัส โดยเริ่มตั้งแต่เลี้ยงยีสต์  
บนอาหารแข็งอซีเตตที่เติมไลซีน, อดีนีน, เมทาโรโธนีน และยูเรซิล เพื่อกระตุ้นการเกิดแอสไซโต้  
จากนั้นทำลายผนังเซลล์ของแอสคัสด้วยสารละลายเอนไซม์ไฮโมไลเอส -5000 ความเข้มข้น 6



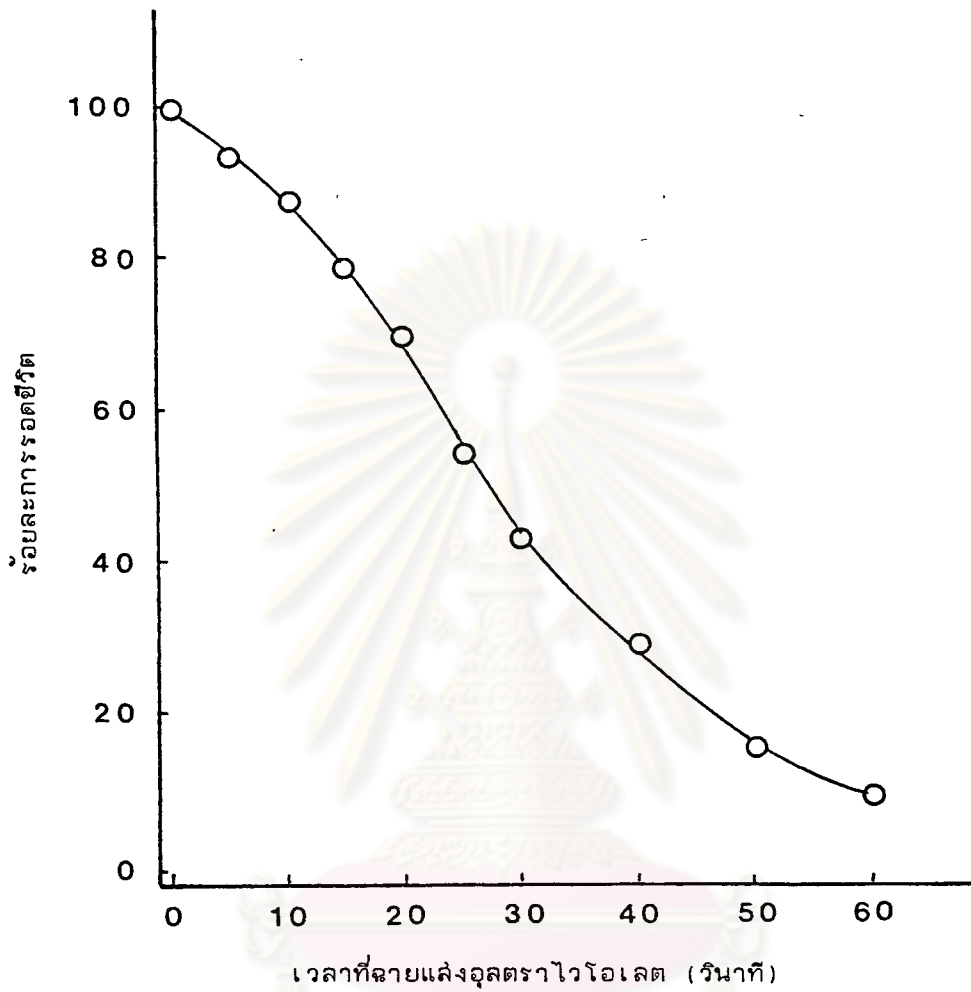
มก.ต่อมล. นาน 25 นาที นำไปแยกแอสโคสปอร์โดยเครื่องมือไมโครมานิพูเลเตอร์ เพื่อศึกษาสัณทิวภาพของแอสโคสปอร์ เลือกแยกเฉพาะแอสคัส ที่มี 4 แอสโคสปอร์ และเก็บ (Select) เฉพาะแอสคัสที่สามารถงอก (germination) ให้จำนวนแอสโคสปอร์ในแอสคัส เป็น 4 หรืออย่างน้อย 3 แอสโคสปอร์ จนครบ 25 แอสคัส จากการทดลองพบว่าแอสโคสปอร์ ทั้ง 4 ในแต่ละแอสคัสที่ศึกษา มีความสามารถในการงอกบนอาหารแข็งวายเป็นที่แตกต่างกัน ดังตารางที่ 12

ตารางที่ 12 แสดงการงอกของแอสโคสปอร์ในแต่ละแอสคัส ซึ่งแยกจากแอสคัสที่มี 4 แอสโคสปอร์ต่อแอสคัส

จำนวนแอสคัสทั้งหมด ที่แยก	จำนวนแอสคัสที่แอสโคสปอร์งอก				
	4	3	2	1	0
80	13	12	13	14	28
100%	16.25%	15%	16.25%	17.5%	35%

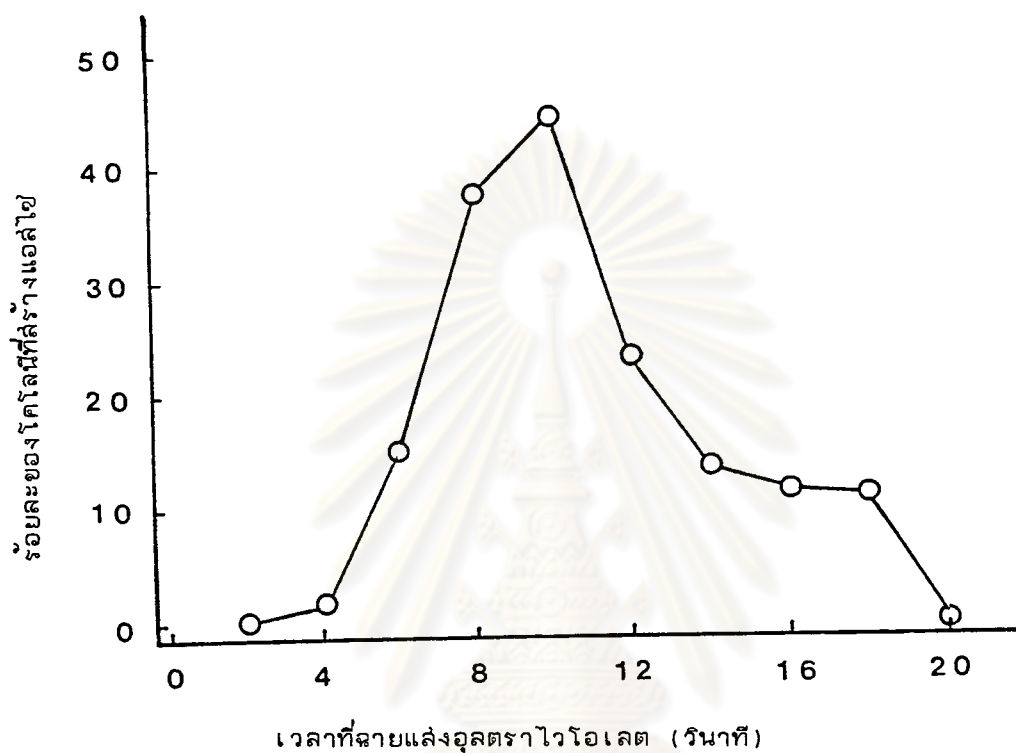
### 7.3 สัณทิวภาพและสายพันธุ์บ่งเพศ $\alpha$ , $a$ ในแต่ละแอสโคสปอร์

จากการทดลองชักนำการเปลี่ยนสายพันธุ์บ่งเพศจาก  $\alpha$  เป็น  $a$  ของเซลล์ผสม  $\alpha\alpha$  ( $F_u-d_1$ ) ซึ่งมีสัณทิวภาพ lys 9 ด้วยแสงอุลตราไวโอเลต สามารถชักนำให้เกิดกระบวนการสร้างแอสโคสปอร์ และมีการเปลี่ยนสายพันธุ์บ่งเพศจาก  $\alpha$  เป็น  $a$  โดยมีอัตราการกระจาย (Segregation) ของสายพันธุ์บ่งเพศภายในแอสคัสเป็นสัดส่วน  $2\alpha : 2a$  และลักษณะสัณทิวภาพต่อการสร้างกรดอะมิโนและไนโตรจีเนียลเบส ของแต่ละแอสโคสปอร์ แสดงในตารางที่ 13 และสรุปสัดส่วนการกระจายของยีน ในตารางที่ 14



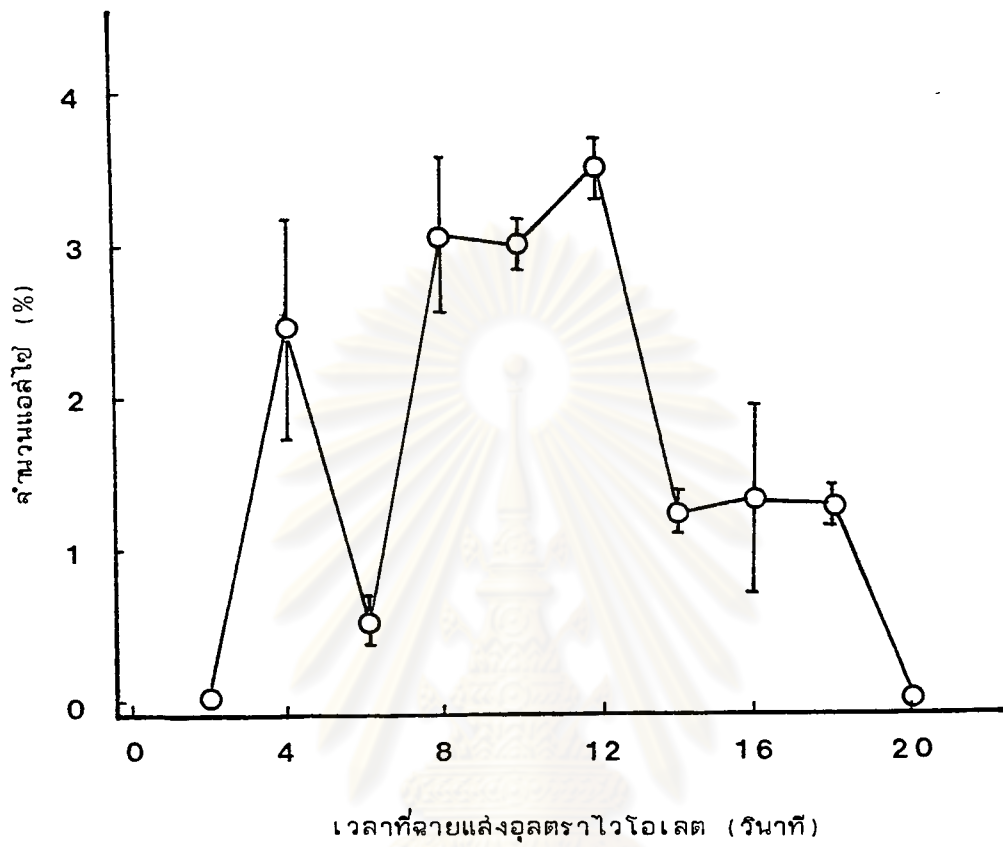
กราฟที่ 6 ผลการฉายแสงอุลตราไวโอเลตต่ออัตราการรอดชีวิตของยีสต์เซลล์ผสม  $\propto (F_u - d_1)$

จุฬาลงกรณ์มหาวิทยาลัย



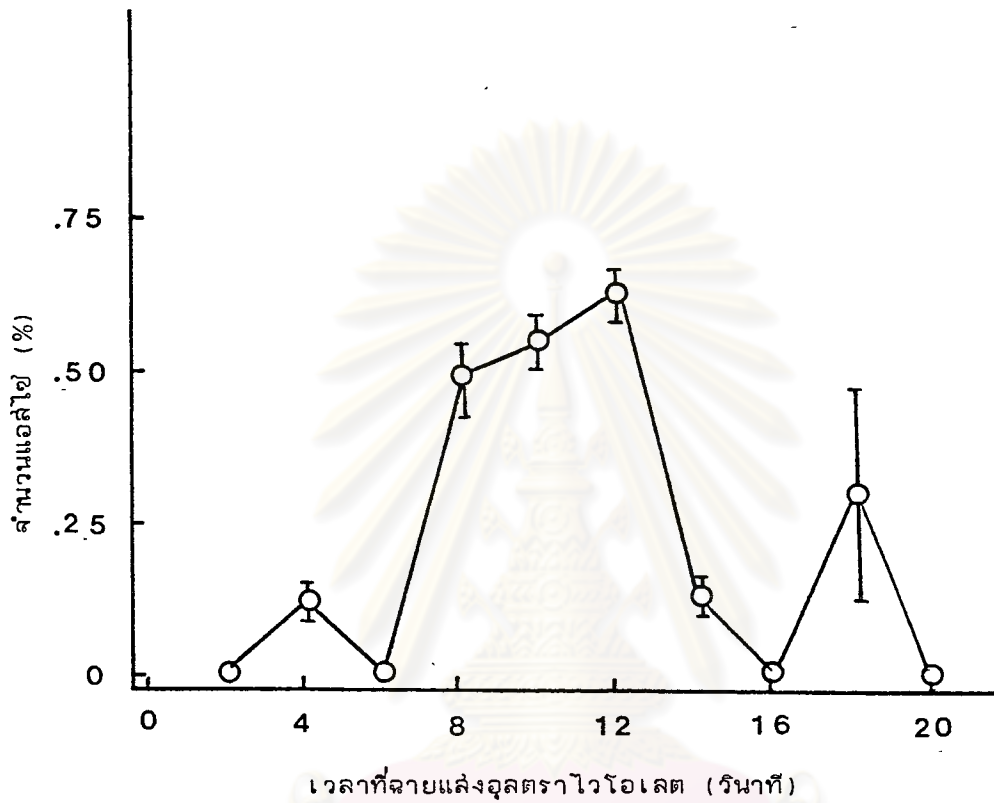
กราฟที่ 7 ผลการฉายแสงอุลตราไวโอเลตชันำการเปลี่ยนสายพันธุ์บ่งเพศในยีสต์ เซลล์ผสม  $\propto (Fu-d_1)$  นับจากจำนวนโคโลนีที่สร้างแอสไซไซได้

ศูนย์วิทยทรัพยากร  
จุฬาลงกรณ์มหาวิทยาลัย



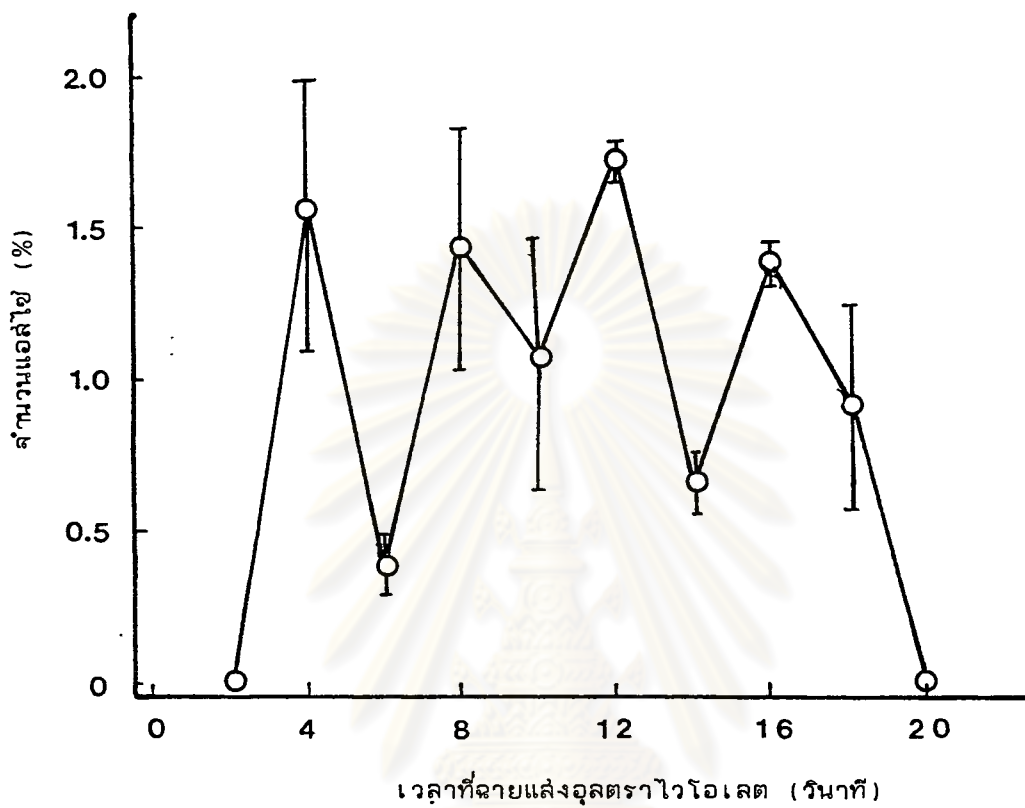
กราฟที่ 8 แสดงจำนวนแอสไซไซที่เกิดขึ้นจากเซลล์ผสม  $\alpha\alpha$  (Fu-d<sub>1</sub>) ที่ถูกยกมาด้วยแสงอุลตราไวโอเลต ที่เวลาต่าง ๆ กัน

ศูนย์วิทยทรัพยากร  
จุฬาลงกรณ์มหาวิทยาลัย



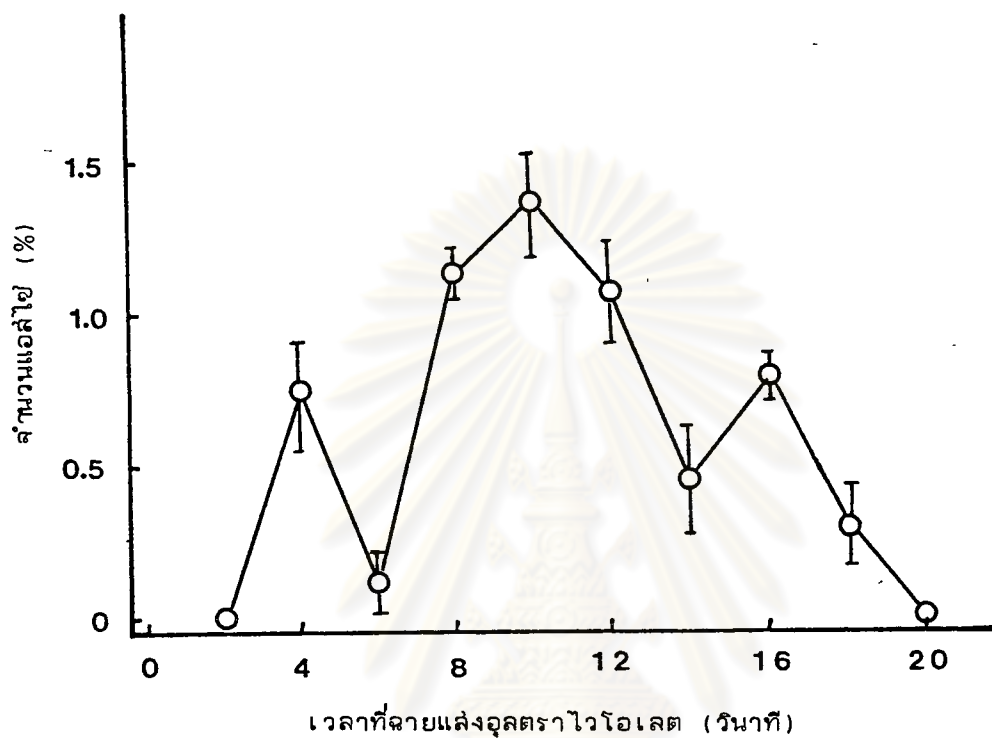
กราฟที่ 9 แสดงจำนวนแอลไซชนิดที่มี 4 แอลโคลปอร์ตต่อแอลคิลของเซลล์ผสม  $\alpha\alpha$  (Fu-d<sub>1</sub>) ที่เกิดจากการชักนำด้วยแสงอุลตราไวโอเลตที่เวลาต่าง ๆ กัน

ศูนย์วิจัยทรัพยากร  
จุฬาลงกรณ์มหาวิทยาลัย



กราฟที่ 10 แสดงจำนวนแอสไซชนิดที่มี 3 แอสโคลปอร์ตต่อแอสคีลของเซลล์ผสม  $\alpha\alpha$  (Fu-d<sub>1</sub>) ที่เกิดจากกัรชันนำด้วยแสงอุลตราไวโอเลตที่เวลาต่าง ๆ กัน

ศูนย์วิทยทรัพยากร  
จุฬาลงกรณ์มหาวิทยาลัย



กราฟที่ 11 แสดงจำนวนแอสไฮชนิดที่มี 2 แอสโคลปอร์ตต่อแอสคัลล์ ของเซลล์ผสม  $\alpha\alpha$  (Fu-d<sub>1</sub>) ที่เกิดจากการชักนำด้วยแสงอุลตราไวโอเลตที่เวลาต่าง ๆ กัน

ศูนย์วิทยทรัพยากร  
จุฬาลงกรณ์มหาวิทยาลัย

ตารางที่ 13 แสดงสายพันธุ์บ่งเพศ และจี โนไทป์<sup>(ก)</sup> ของแต่ละแอสโคสปอร์จาก 25 แอสคัส

แอสโคสปอร์ แอสคัส	1	2	3	4
1	α Prototroph <sup>(ข)</sup>	α lys ade met ura <sup>(ค)</sup>	a lys ade met ura	a lys ade
2	α lys ade met ura <sup>(ค)</sup>	a lys ade met	a Prototroph	α lys met ura
3	α lys ade met ura <sup>(ค)</sup>	a lys ade met	α lys met ura	a lys ade
4	a lys met ura	α lys ura	a lys ade met ura <sup>(ค)</sup>	ตาย
5	a Prototroph <sup>(ข)</sup>	α lys ade met	a lys ura	α lys met ura
6	a lys ade	a lys ade	α lys ura	ตาย
7	a lys ade met ura <sup>(ค)</sup>	a lys ade	α lys met	ตาย
8	a lys ade	α lys ade ura	α lys met	a lys met ura
9	a lys ade ura	α lys ade	a lys met	α lys ade met ura
10	a lys ade met	a lys met	α lys met	α Prototroph
11	α lys met ura	α lys ade met ura <sup>(ค)</sup>	a lys met	a lys ade met ura
12	a lys ura	α lys ade met	α lys met	a lys ade
13	α lys ade met ura <sup>(ค)</sup>	a lys ade met ura <sup>(ค)</sup>	a Prototroph	α lys ura
14	a lys met ura	α lys ade	a Prototroph	ตาย
15	α lys ade	α lys ade	a lys met ura	ตาย
16	a lys met	a lys ade	α lys ura	α lys met ura
17	a lys met ura	a lys ade	α lys met	α lys ade met
18	α lys met	α lys ade met ura <sup>(ค)</sup>	a lys ade ura	ตาย
19	a Prototroph <sup>(ข)</sup>	a lys met ura	α lys ade met ura	α lys ade met
20	a Prototroph <sup>(ข)</sup>	α lys met ura	a lys met	ตาย





แอสโคสปอร์ แอสค์ลีส	1	2	3	4
21	a lys ura	a lys met ura	$\alpha$ lys ade met ura <sup>(ค)</sup>	ตาย
22	a lys met	a lys ura	$\alpha$ lys ade	ตาย
23	$\alpha$ lys ura	a lys ade met	a lys ade met ura <sup>(ค)</sup>	ตาย
24	a lys met	$\alpha$ lys ade	a lys met ura	ตาย
25	$\alpha$ lys ade	a lys ura	$\alpha$ lys ade met ura <sup>(ค)</sup>	ตาย

หมายเหตุ (ก) = สื่อสโนโทพียองกรดอะมิโนและไนโตรเจนเพียงเล็กน้อยให้ยึดเส้นใยได้

(ข) = Prototroph เป็นแอสโคสปอร์ที่สามารถขึ้นบนอาหารต่ำสมบูรณ์ที่ปราศจากกรดอะมิโน

(ค) = เป็นแอสโคสปอร์ที่ต้องการไลซีน ฮิสทีดีน เมทไอโอนีน และยูเรซิล ในปริมาณที่มากกว่าแอสโคสปอร์ปกติ 2 เท่า

ตารางที่ 14 สรุปลักษณะการกระจายของยีนภายในแอสค์ลีสจำนวน 25 แอสค์ลีส

ยีน	สัดส่วนการกระจายของยีน				
	4:0	3:1	2:2	1:3	0:4
$\alpha$ : a	0	0	25	0	0
lys : LYS	17	8	0	0	0
ade : ADE	0	3	18	4	0
met : MET	1	5	18	1	0
ura : URA	0	4	18	3	0

ถ้าให้การกระจายของยีนในตารางที่ 13 เป็นอัตราส่วนตามทฤษฎีคือ 2:2 และ 4:0 ในกรณีการขาดไลซีนของ lys : LYS เราสามารถคาดหรือทาย (Predict)

สโนโทพียองแอสโคสปอร์ที่ตายในแอสค์ลีสที่ 4, 6, 7, 14, 15, 18 และ 20-25 ได้ดังตารางที่ 15

ตารางที่ 15 สรุปลายพันธุ์บ่งเพศและสโนโทของแอสโคสปอร์ทั้งหมดที่ควรได้ใน 25 แอสสปัส

แอสโคสปอร์ แอสไซ	1	2	3	4
1	∞ prototroph	∞ lys ade met ura	a lys ade met ura	a lys ade
2	∞ lys ade met ura	a lys ade met	a prototroph	∞ lys met ura
3	∞ lys ade met ura	a lys ade met	∞ lys met ura	a lys ade
4	a lys met ura	∞ lys ura	a lys ade met ura	∞ lys ade
5	a prototroph	∞ lys ade met	a lys ura	∞ lys met ura
6	a lys ade	a lys ade	∞ lys ura	∞ lys ura met
7	a lys ade met ura	a lys ade	∞ lys met	∞ lys ura
8	a lys ade	∞ lys ade ura	∞ lys met	a lys met ura
9	a lys ade ura	∞ lys ade	a lys met	∞ lys ade met ura
10	a lys ade met	a lys met	∞ lys met	∞ prototroph
11	∞ lys met ura	∞ lys ade met ura	a lys met	a lys ade met ura
12	a lys ura	∞ lys ade met	∞ lys met	a lys ade
13	∞ lys ade met ura	a lys ade met ura	a prototroph	∞ lys ura
14	a lys met ura	∞ lys ade	a prototroph	∞ lys ade met ura
15	∞ lys ade	∞ lys ade	a lys met ura	a lys met ura
16	a lys met	a lys ade	∞ lys ura	∞ lys met ura
17	a lys met ura	a lys ade	∞ lys met	∞ lys ade met
18	∞ lys met	∞ lys ade met ura	a lys ade ura	a lys
19	a prototroph	a lys met ura	∞ lys ade met ura	∞ lys ade met
20	a prototroph	∞ lys met ura	a lys met	∞ lys ura ade

แอสโคลสปอร์ แอสซิส	1	2	3	4
21	a lys ura	a lys met ura	☉ lys ade met ura	☉ lys ade
22	a lys met	a lys ura	☉ lys ade	☉ lys ade met ura
23	☉ lys ura	a lys ade met	a lys ade met ura	☉ lys
24	a lys met	☉ lys ade	a lys met ura	☉ lys ade ura
25	☉ lys ade	a lys ura	☉ lys ade met ura	a lys met

ศูนย์วิทยทรัพยากร  
จุฬาลงกรณ์มหาวิทยาลัย